

## دراسة سيزمية لحقل صدد الغاري في حوض الدو - سوريا<sup>1</sup>

\*أسماء عبد الغني الكيلاني<sup>1</sup>، رامز وجيه ناصر<sup>2</sup>، كايد الياس معلولة<sup>3</sup>

<sup>1</sup> طالبة دكتوراه، قسم الجيولوجيا - كلية العلوم - جامعة دمشق - سوريا،

البريد الإلكتروني: [asmaa1.alkelany@damascusuniversity.edu.sy](mailto:asmaa1.alkelany@damascusuniversity.edu.sy)

<sup>2</sup> أستاذ، قسم الجيولوجيا - كلية العلوم - جامعة دمشق - سوريا

البريد الإلكتروني: [ramez.naser@damascusuniversity.edu.sy](mailto:ramez.naser@damascusuniversity.edu.sy)

<sup>3</sup> أستاذ، قسم الجيولوجيا - كلية العلوم - جامعة دمشق - سوريا

البريد الإلكتروني: [kayed.maalouleh@damascusuniversity.edu.sy](mailto:kayed.maalouleh@damascusuniversity.edu.sy)

### الملخص:

يهدف هذا البحث إلى إعادة تفسير سيزمي لحقل صدد الغاري وفق أسلوب تفسير سيزمي دقيق. قمنا في هذه الورقة العلمية بمتابعة مميزة لعاكس الكوروشينا دولوميت (K.D.) الحامل للهيدروكربون، وعاكس الكوروشينا أنهيدريت (K.A.) الممثل للصخور الغطائية في منطقة الدراسة، بالإضافة إلى تفسير بعض العواكس المساعدة كعاكس الكامشوكا، ووضعنا تصور سيزمي - سترياتغرافي متكامل عن التشكيلات في المنطقة المدروسة. كما قمنا بإنشاء خريطة زمنية جديدة لتشكيلة (K.D.) في حقل صدد المدروس، وتمت مقارنة نتائج هذه الدراسة مع نتائج الدراسات السابقة، فتبين أن الخريطة الزمنية المعدة من قبلنا مختلفة عن الخرائط السابقة. وبناءً على ذلك وضعنا خريطة عمقية جديدة لـ (K.D.)، وحددنا عليها موقع لحفر آبار جديدة في المنطقة، مستخدمين في دراستنا البرامج الجيوفизيائية، الجيولوجية والمكتبية

التالية:

(Geo-Frame – Imain-Charisma, Geology Office, CPS3, Word, Power Point, Exel)

الكلمات المفتاحية: جيولوجيا، جيوفزياء، حقل صدد، هيدروكربون، تصور سيزمي - سترياتغرافي.

تاريخ الإيداع: 2023/10/12

تاريخ الموافقة: 2024/02/14



حقوق النشر: جامعة دمشق -

سوريا، يحتفظ المؤلفون بحقوق

النشر بموجب الترخيص

CC BY-NC-SA 04

## Seismic study of the Sadad gas field in the Daw basin, Syria

\*Asmaa Abd ALghani Alkelany<sup>1</sup>, Ramez Wajeh Naser<sup>2</sup>,  
Kayed Elia Malola<sup>3</sup>

<sup>1</sup> PhD student, Department of Geology – College of Science – Damascus University – Syria, Email: [asmaa1.alkelany@damascusuniversity.edu.sy](mailto:asmaa1.alkelany@damascusuniversity.edu.sy)

<sup>2</sup> Professor, Department of Geology – College of Science – Damascus University – Syria, Email: [ramez.naser@damascusuniversity.edu.sy](mailto:ramez.naser@damascusuniversity.edu.sy)

<sup>3</sup> Professor, Department of Geology – College of Science – Damascus University – Syria, Email: [kayed.maalouleh@damascusuniversity.edu.sy](mailto:kayed.maalouleh@damascusuniversity.edu.sy)

### Abstract

This research aims to re -interpretation of the Sadad gas field according to accurate method of seismic interpretation.

In this scientific paper, we have followed the Kurachine Dolomite (K.D.) reflector, which carries hydrocarbon, by a distinctive follow -up, and the Kurachine Anhydrite (K.A.) reflector, which represents the covered rocks in the study area, in addition to interpreting some auxiliary reflectors, such as Quamchouka reflector. We created an integrated seismic-stratigraphic visualization of the formations in the study area. We also created new two-way time (TWT) map of the Kurachine Dolomite formation in the studied Sadad field, and the results of this study were compared with the results of the previous studies, so the prepared (TWT) map, that we created, was different from the previous maps. Based on that, we created new depth map of the (K.D.), and we located new well drilling locations on it in the study area.

In our research, we used these geophysical, geological and office programs: (Geo-Frame – Imain-Charisma, Geology Office, CPS3, Word, Power Point, Exel).

Received :2023/10/14  
Accepted:2024/02/14



Copyright: Damascus University- Syria, The authors retain the copyright under a CC BY- NC-SA

**Keywords:** Geology, Geophysics, The Sadad field, Hydrocarbon, Seismic-stratigraphic visualization.

**1 - المقدمة:**

بعد حوض الدو (الذي يقع ضمنه حقل صدد المدروس) من المناطق ذات الأمل الهیدرولکربونی، لذا كان محطًّ انتظار الشركات والباحثين، وقاموا بدراساته وإعادة تقييمه سیزمیاً وجیولوجیاً. وقد تم إنجاز عدة دراسات حول حقول الحوض، كان آخرها أربع أبحاث:

-الأول: دراسة سیزمیة تم تنفيذها حول حقل شریفة الغازی، وتم من خلالها وضع نموذج سیزمی طبقي فعال للبئر شریفة-2، واستخدامه لتقسیر المعطيات الجیولوجیة وتحديد السرع السیزمیة في حقل شریفة (الکیلانی وناسر، 2022).

-الثاني: دراسة سیزمیة تم بنتيجة إعاده تقييم حقل شمال الفیض الغازی سیزمیاً وتدقيق بنیته الجیولوجیة ووضع تصور سیزموموستراتغرافی شامل حوله (الکیلانی وآخرون، 2023).

-الثالث: دراسة سیزمیة لحق الفرقلس لوضع تصور شامل حول وضعه الجیولوجی (الکیلانی وآخرون، 2023).

-الرابع: بحث يتضمن إعادة تقييم المعطيات السیزمیة لحق قمقم في حوض الدو - سوریة (الکیلانی وآخرون، 2023).

إن الخطوة الأساسية والأهم في أعمال التفسیر السیزمی هي عملية فرز ومتابعة العواكس السیزمیة، لهذا انطلقنا في هذا البحث من دراسة التشكیلة الحاملة للهیدرولکربون (الکوروشینا دولومیت) ضمن حقل صدد وخاصة C2، نظرًا لأهميتها الهیدرولکربونیة، حيث يعد تركيب صدد أحد تراكیب حوض الدو المأمولة هیدرولکربونیا في نطاقی الدو C2 و D1، إذ يعاني هذا التركيب من تعقیدات تکتونیة أدت إلى تقسیم المنطقة إلى مجموعات من البلاکات الفالقیة، مما دفعنا إلى إعادة التفسیر السیزمی وتتفیذ المزيد من الدراسات والأبحاث حولها.

تم تنفيذ العديد من المسوحات ثنائية الأبعاد (2D) ضمن حقل صدد الغازی خلال فترات زمنیة متغیرة، حيث اختفت مسوحات 2D عن بعضها البعض بتباين واضح بثوابت العمل الحقلي وطرق المعالجة بحسب (الشركة السورية للنفط، 2018). يغطي الحقل مجموعة خطوط لبرامج مسح متباينة (CH- AR- SU- QMS- QMW- QM)، وقد كانت كثافة المسح متوسطة في منطقة الدراسة كما هو على (الشكل. 1).



الشكل. 1: موقع الآبار وخطوط المسح السیزمیة في صدد (Ponikarov, 1964)

**2 - أهمية منطقة الدراسة:**

تتبع أهمية حقل صدد الغازی من أنه يحقق جميع شروط التجمع الهیدرولکربونی؛ من صخور مولدة (الجزء السفلي من الكوروشینا دولومیت، الأمانوس شیل، الأمانوس ساند، مرقدة)، ومن صخور حاملة (K.D)، وصخور غطائیة (K.A.)، بالإضافة إلى كون هذا الحقل ينتمي لحوض الدو ذي التراكیب الغنية بالهیدرولکربونات وخصوصاً المواد الغازیة.

### 3 - أهداف البحث:

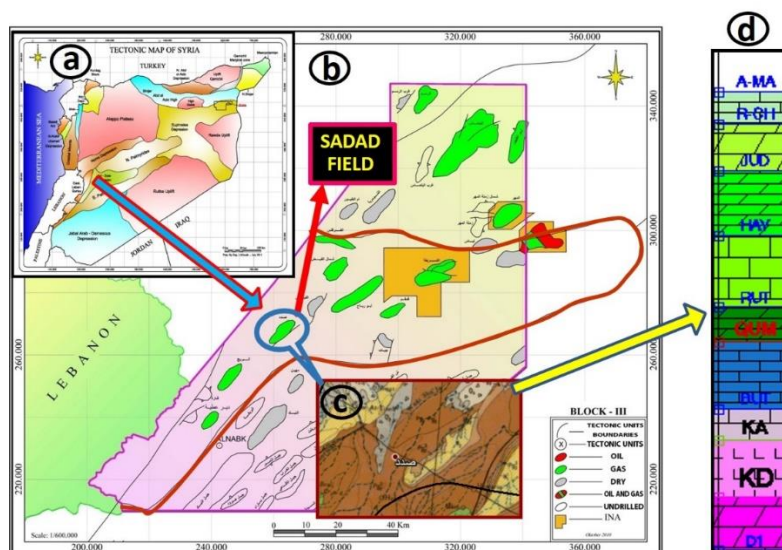
- دراسة حقل صدد جيولوجيًا من خلال إنشاء مقطع ليتوجيولوجي.
- التفسير السيزمي لأهم العواكس في التركيب المدروس.
- إنشاء خرائط زمنية وعمقية جديدة لعักس K.D. الحامل للهيدروكربون.
- اقتراح موقع حفر آبار جديدة في منطقة الدراسة.
- إنشاء مقطع سيموموستراتغرافي يعكس الوضع الجيولوجي والسيزمي لمنطقة الدراسة.

### 4 - الموقع الجغرافي والوضع الجيولوجي لمنطقة الدراسة:

يقع تركيب صدد ضمن الأطراف الغربية لمنخفض الدو (شكل. 2 - a, b) (Syrian Petroleum Company, 2010)، شمال قرية صدد بحدود 7.5 كم، وشمال شرق مدينة النبك بحدود 37 كم. بدأ الحفر في التركيب انطلاقاً من البئر صدد-1 بتاريخ 1 / 6 / 2004 (الشركة السورية للنفط، 2004)، ثم تالى حفر الآبار المنتجة للغاز حتى بلغ عددها 11 بئراً (دد-1، صدد-2، ...، صدد-12، عدا البئر صدد-11 الذي لا يزال قيد الحفر)، جميعها منتجة للغاز عدا البئرين صدد 2 و 5 فقد كانت نتائجهما سلبية (الشركة السورية للنفط، 2004 - 2020).

تم إنتاج الغاز من خزانات تشكيلة الكوروشينا دولوميت في حقل صدد منذ اكتشافه وحتى تاريخه، وهو ينتج الغاز حالياً من تشكيلة K.D. النطاق (C2 + D1)، وتتمتع تلك الخزانات بمسامية شديدة، وقد لعبت عمليات الدلمنة اللاحقة دوراً كبيراً في تحسين مواصفات الخزان (الشركة السورية للنفط، 2018).

ترافق تشكيل جميع تراكيب حوض الدو - بما فيها تركيب صدد موضوع الدراسة - مع تشكيل نطاق الطي التدمري (Ponikarov, 1964)، وأعقب تشكيلها مرحلة تشوّه في الغطاء الروسي، حيث انزلقت المجموعات الدولوميتية العائدة لعمر الترياسي العلوي - الجوراسي على المستويات التبخرية في تشكيلة K.A. (أسفل الترياسي الأعلى) بالاتجاه الجنوبي الشرقي (Barazangi, 1990)، وأدى هذا الانزلاق بدوره إلى نشوء عدم توافق طبقي ضمن المجموعة المعاصرة للتكتونيكي (Ponikarov, 1964). وتبلغ سماكة الغطاء الروسي في حوض الدو (9 - 11) كم (Techno-Export company, 1974).



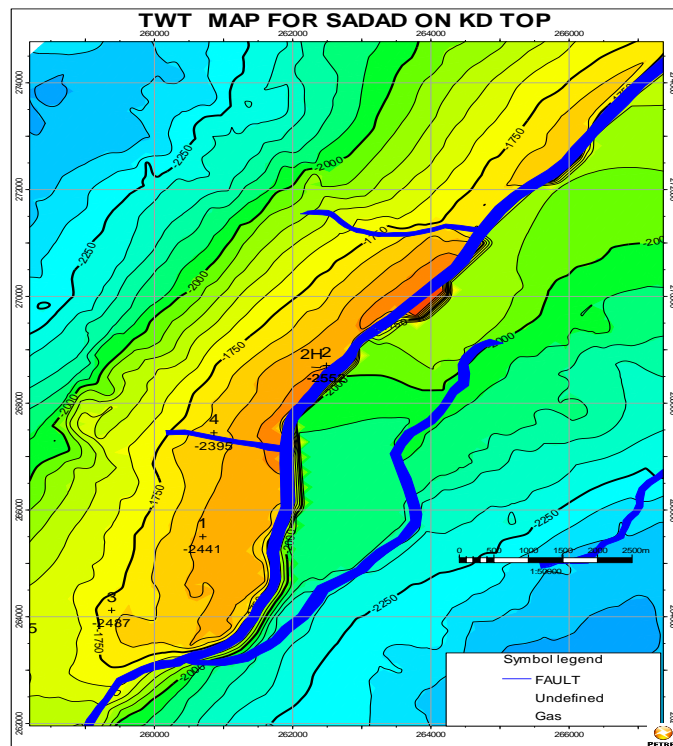
الشكل 2: a - خريطة الوحدات التكتونية في سوريا (Syrian Petroleum Company, 2010)

b - خريطة توزع تراكيب حوض الدو، محدداً عليها موقع تركيب صدد (Syrian Petroleum Company, 2010)

c - التكتشفات الجيولوجية في حقل صدد (Ponikarov, 1964)

d - مقطع ليثولوجي يظهر التشكيلات الجيولوجية لتركيب صدد (Syrian Petroleum Company, 1997)

111 أما عن جيولوجية المنطقة المدروسة (شكل. 2 - c) (Ponikarov, 1964); فتكتشف فيها الصخور العائدة لعمر الباليجين في  
 112 معظم مساحة التركيب، كما تكتشف في القسم المركزي تقريباً صخور عائدة لعمر النيوجين، أما الأطراف الشمالية الغربية من  
 113 التركيب فتكتشف فيها صخور عائدة لعمر الرباعي.  
 114 ويمكن توضيح الجيولوجيا تحت السطحية لحقن صدد وليثولوجيته (شكل. 2 - d) (Syrian Petroleum Company, 1997) كما يلي:  
 115 - تشكيلة الأرك مارل (A-MA): تتتألف من حجر كلسي رمادي فاتح كريمي، قليل الغضارية.  
 116 - تشكيلة الرماح شيرت (R-CH): تتتألف من حجر كلسي غضاريبني، بني داكن، مع تداخلات شيرت بألوان مختلفة.  
 117 - تشكيلة الجوديا (JUD.): تتتألف من دولوميت بلون رمادي فاتح كريمي، مع تداخلات حجر كلسي بلون رمادي فاتح، أبيض مت suction.  
 118 - تشكيلة الحيان (HAY.): تتتألف من حجر كلسي غضاري بلون رمادي فاتح، بني فاتح، مع تداخلات دولوميت وحجر كلسي  
 119 بلون رمادي، رمادي فاتح، إلى أبيض مت suction + تداخلات أنهيدریت ذي اللون الأبيض.  
 120 - تشكيلة الرطبة (RUT.): مكونة من تداخلات طف برکاني وحجر رملي ورمل حر، مع تداخلات بسيطة جداً من الحجر الكلسي  
 121 ذي اللون الرمادي إلى الرمادي الداكن.  
 122 - تشكيلة الكامشوكا (QUM.): تتتألف من حجر كلسي بلون رمادي، رمادي فاتح إلى بني فاتح، مع تداخلات دولوميت باللون  
 123 الرمادي إلى الرمادي الفاتح، والبني الفاتح، بالإضافة إلى تداخلات من الأنهيدریت.  
 124 - تشكيلة البطمة (BUT.): تتتألف من تعاقبات دولوميت وحجر كلسي بلون رمادي داكن إلى رمادي بني، مع تداخلات من الشيل  
 125 والغضار بلون رمادي إلى رمادي داكن، وبالإضافة إلى الأنهيدریت.  
 126 - تشكيلة الكوروشينا أنهيدریت (المغطية) (K.A.): تكون في بدايتها (من 30 إلى 100 متر) من الأنهيدریت والحجر الكلسي  
 127 والشيل، ثم يغلب عليها بعد ذلك طابع الملح، مع تداخلات من الجص والأنهيدریت والغضار والشيل.  
 128 - تشكيلة الكوروشينا دولوميت (الخازنة) (K.D.): مكونة من عدة أقسام:  
 129 - القسم الأول (C2): من أعلى الطبقة حتى أعلى الـ D1: ويتألف من تداخلات معظمها حجر كلسي رمادي إلى رمادي فاتح وأحياناً  
 130 رمادي داكن، مع تداخلات من الدولوميت بلون كريمي فاتح إلى بني، وتداخلات شيل وغضار (رمادي إلى رمادي داكن)،  
 131 وأنهيدریت.  
 132 - القسم الثاني (D1): وهو يتتألف من حجر كلسي مشقق بلون رمادي فاتح إلى أبيض، مع وجود نطاقين من الدولوميت، بلون  
 133 كريمي فاتح، النطاق الأول: بعد 5 - 6 متر من أعلى الـ D1، والنطاق الثاني: في أسفل الـ D1.  
 134 يوجد فاصل بين الـ D1 والـ D2 وهو 35 - 40 متر من الحجر الكلسي الغضاري ذي اللون الرمادي إلى الرمادي الداكن.  
 135 أما الـ D2: فهي عبارة عن حجر كلسي كتيم بلون رمادي إلى رمادي داكن.  
 136 **5 - الدراسات السابقة:**  
 137 ثُفت في حقل صدد مجموعة من الدراسات السیزمیة، نتج عنها إعداد خرائط زمنية وعمقية توضح الوضع الجيولوجي والبنيوي  
 138 لتشكيلة الكوروشينا دولوميت في التركيب المدروس. اعتمدت تلك النتائج على المعطيات البئرية والسطحية المتوفرة عن منطقة  
 139 الدراسة، فقد نفذت الشركة السورية للنفط عام 2014 دراسة سیزمیة لحقن صدد، تم بموجبها إعداد خريطة زمنية ممثلة لعاكس  
 140 K.D. (الشركة السورية للنفط، 2014)، حيث أظهرت هذه الخريطة أن تركيب صدد طولاني باتجاه شمال شرق - جنوب غرب،  
 141 مغلق على فالق رئيس وأخرين ثانويين، كما هو على (الشكل. 3).



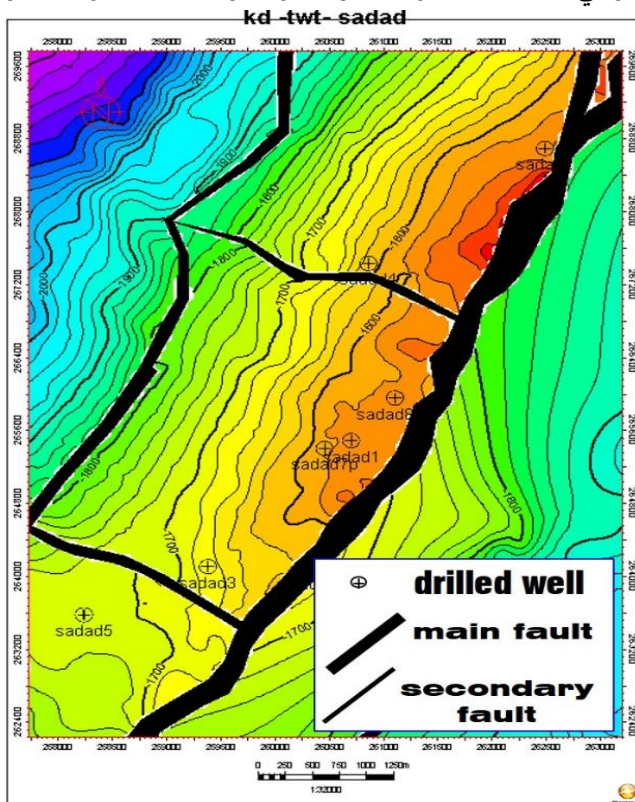
الشكل. 3: خارطة زمنية لتشكيلة KD في حقل صدد (الشركة السورية للنفط، 2014)

142

143

144

وفي عام 2015 نفذت الشركة السورية للنفط خريطة زمنية لتشكيلة الكوروشينا دولوميت (الشركة السورية للنفط، 2015)، اتضح من  
خلالها أن تركيب صدد له شكل طولي باتجاه شمال شرق - جنوب غرب، ومحدد بفالقين رئيسيين، وأخرين ثانويين، (الشكل. 4).

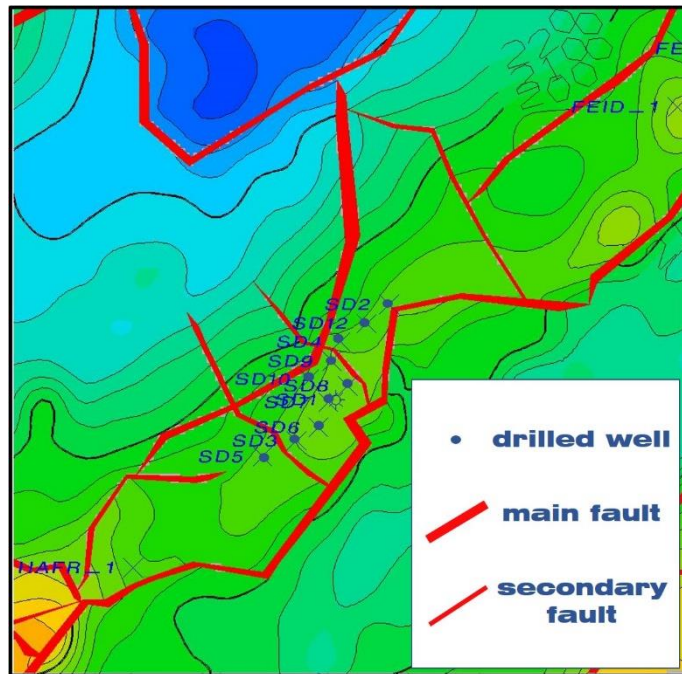


الشكل. 4: خارطة زمنية لتشكيلة KD في حقل صدد (الشركة السورية للنفط، 2015)

147

148

149 ثم نفذت الشركة السورية للنفط دراسة سیزمیة لحقول صدد، نتج عنها خريطة زمنية جديدة لعاكس KD (الشركة السورية للنفط)  
 150 2018)، حيث أظهرت هذه الخريطة تركيب صدد بشكل طولي أيضاً باتجاه شمال شرق - جنوب غرب، ومحدد بفالقين رئيسين  
 151 وثلاثة فوالق ثانوية قسمته إلى عدة بلوکات تحوي جميع آبار صدد (صدد-1... صدد-12) عدا البئر صدد-11، كما هو موضح  
 152 على (الشكل. 5).  
 153



الشكل. 5: خريطة زمنية لتشکیلة KD فی حقل صدد (الشركة السورية للنفط، 2018)

## 6 - مسألة البحث:

154 تبين عبر دراستنا للتقارير النهائية لآبار حقل صدد أن معظمها ناجحة (الشركة السورية للنفط، 2004 – 2020)، بينما لم يكن  
 155 البئران صدد 2 و 5 ناجحين.

## 7 - منهجية العمل:

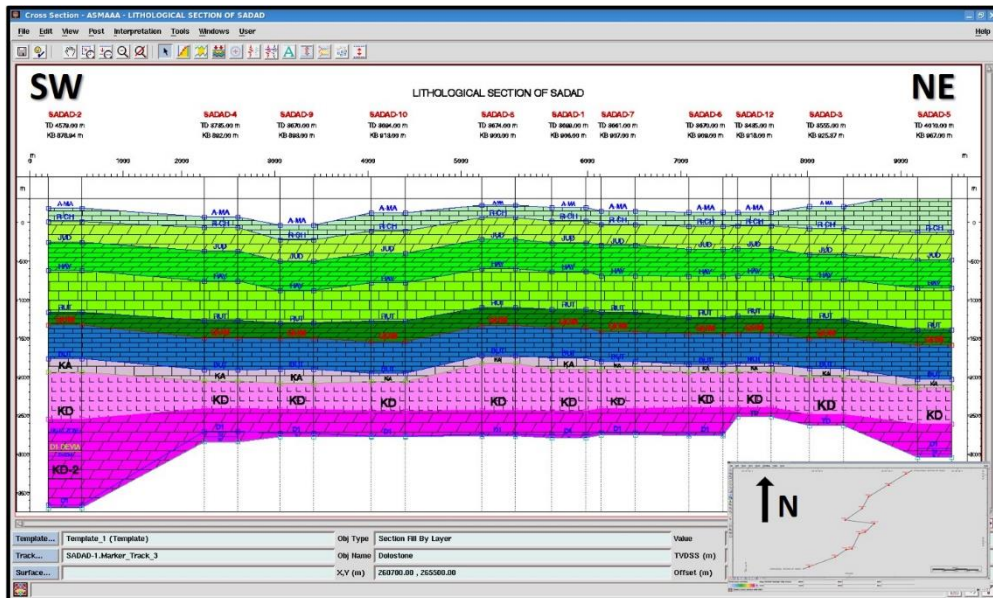
156 قمنا في هذا البحث بإعادة تفسير لجميع خطوط المسح ثنائية الأبعاد (2D) المتوفرة ضمن حقل صدد، والتي تم تنفيذها خلال  
 157 فترات زمنية سابقة، والمتمثلة بتباين واضح في ثوابت العمل الحقلی والمعالجة، حيث كانت نوعية البيانات الاهتزازية جيدة.  
 158

159 وتتمثل منهجية البحث المتبعة بالمراحل التالية:

### أ- تحميل المعطيات الجيولوجية والسيزمية:

160 تم تحميل موقع الآبار (صدد-1، صدد-2، ...، صدد-10) باستخدام برنامج GEO-FRAME- DATA MANAGER، وقد  
 161 اخترقت الآبار تشکیلة KD، وكان أعمقها البئر صدد-5 (الذي تجاوز تشکیلة الأمانوس ساند)، وتم أيضاً تحميل أعلى التشکیلات  
 162 المخترقة عبر الآبار المحفورة وهي: (أرك مارل A-MA، رماح شیرت R-CH، جوديا JUD، حيان HAY، رطبة RUT،  
 163 كامشوکا QUM، بطمة BUT، كوروشينا أنهيدریت KA، كوروشينا دولومیت KD). ثم تم إنشاء مقطع مضاهة ليتولوجیة  
 164 باستخدام برنامج GEO-FRAME-GEOLOGY OFFICE، يربط هذا المقطع بين كافة آبار حقل صدد. بینت دراسة هذا  
 165 المقطع المعد أن سماكة التشکیلات (أرك مارل A-MA، رماح شیرت R-CH، جوديا JUD، حيان HAY، رطبة RUT، كامشوکا  
 166 QUM) في الحقل ذات تباين بسيط بين معظم الآبار، بينما تتزايد سماكة تشکیلة الرماح شیرت من البئر صدد-5 في الجنوب  
 167

الغربي، إلى البئر صدد-4 في الشمال الشرقي، في حين كانت التباينات في سماكة التشكيلات: البطمة BU، الكوروشينا أنهيريت KA، والكوروشينا دولوميت KD واضحة بشكل ملحوظ، كما هو موضح في الشكل. 6.

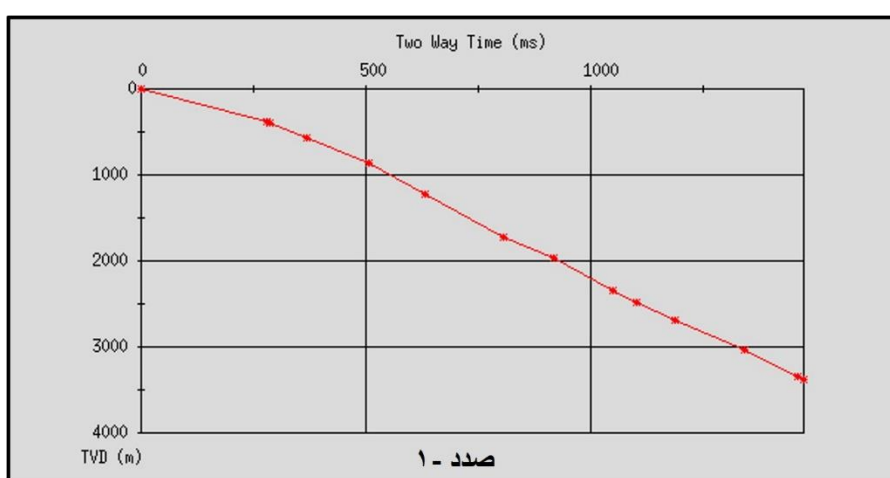


الشكل. 6: مقطع مضاهة ليتجيولوجي يمر بمعظم آبار حقل صدد [الباحث]

174  
175  
176

177 وباستخدام برنامج (GEO-FRAME- SEISMIC- IMAIN) حملنا ووحدنا كافة المسوحات 2D لمستوى إرجاع سیزمی واحد  
178 مقداره (D.P. = 600 m).

179 بـ تحديد أعلى التشكيلات الجيولوجية على الخطوط السیزمیة:  
180 تم تحديد أعلى التشكيلات الجيولوجية -المختربة في آبار الحفر- على خطوط المسح السیزمی ثانية البعد المتوفرة في المنطقة  
181 (Syrian Petroleum Company, 2007) حيث تم استخدام بيانات  
182 المسح الشاقولي (V.S.P.) للبئر صدد-1 (Schlumberger, 2004)، ثم أنشأنا منحني T-Z له، (الشكل. 7).  
183

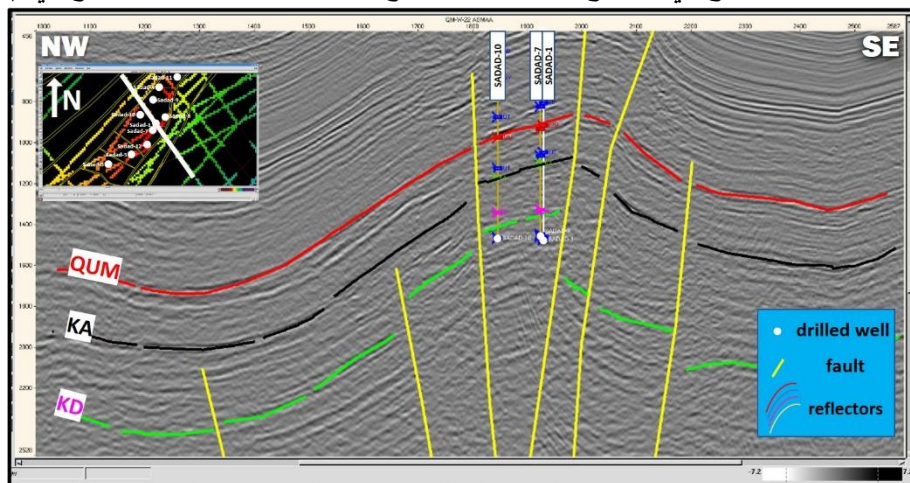


الشكل. 7: منحني T-Z للبئر صدد-1 [الباحث]

184  
185  
186  
187  
188

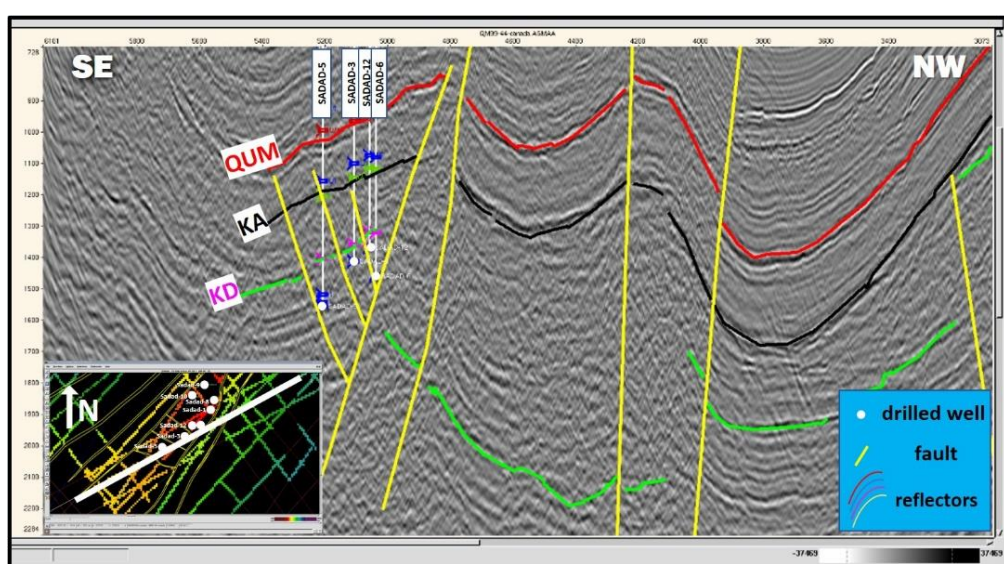
## ج- تفسیر السطوح السیزمیة العاکسة:

قمنا بأعمال التفسیر السیزمی على طول البروفیلات السیزمیة لأعلى التشكیلات الجیولوجیة ضمن حقل صدد: (الکوروشینا دولومیت KD، الکوروشینا أنهیدریت KA، والکامشوکا Qum)، (من خلال برنامح Geo-frame) عبر شبكة خطوط المسح المتوفرة في المنطقة، وتمت متابعة العاکسین (KA و KD و QUM) بشكل رئیسي، و (QUM) کعاکس مساعد. وأنشاء أعمال التفسیر لاحظنا وجود وضوح في السطوح العاکسة من السطح وحتى الأعماق، كما هو واضح في (الشكل. 8).



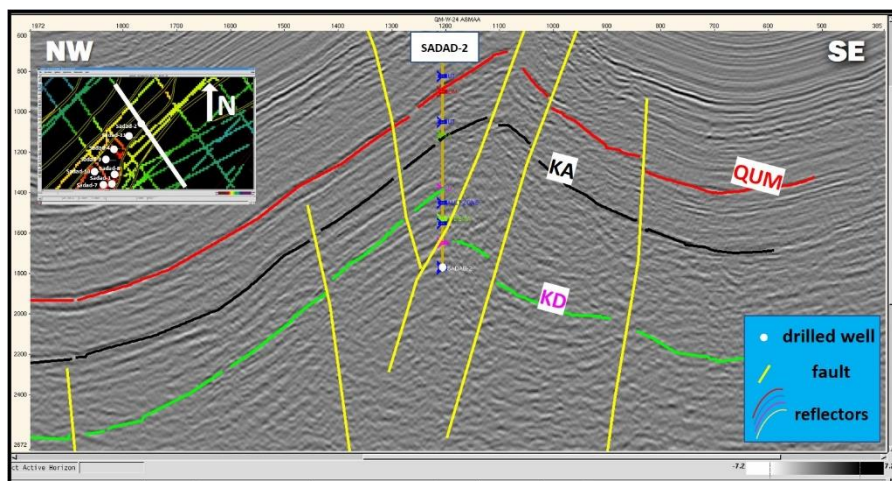
الشكل. 8: مقطع سیزمی مفسر يم من الآبار: صدد 1، 7 و 10 [الباحث]

و عبر متابعتنا للسطح العاکسة؛ لاحظنا أن المنطقة متأثرة بمجموعة من الفوالق الرئیسیة والثانویة وكان معظمها من النوع العکسی، (الشكل. 9).



الشكل. 9: مقطع سیزمی مار بالآبار: صدد 3، 5، 12 و 6 [الباحث]

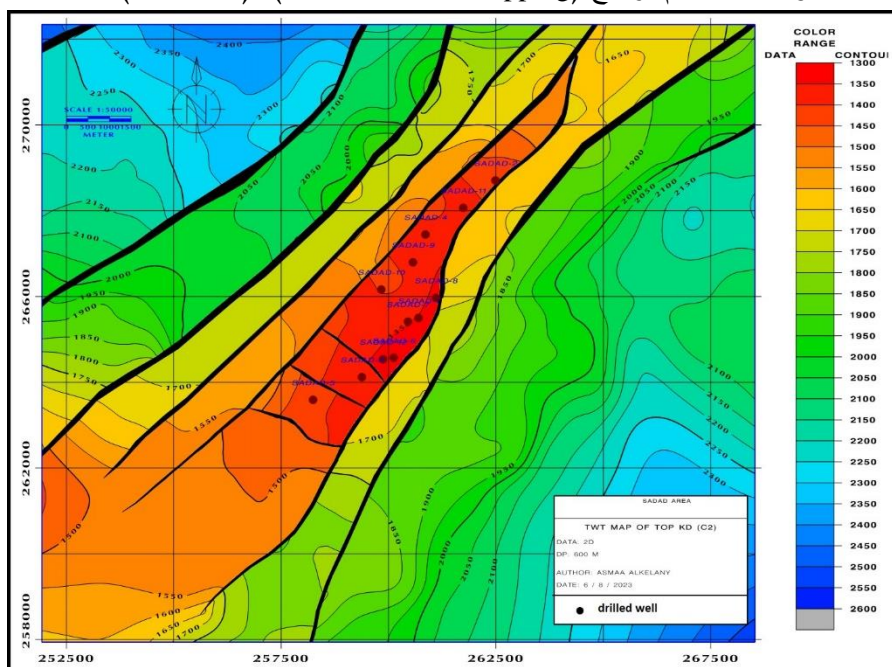
من خلال تفسیرنا لعاکس الکوروشینا دولومیت تبين لنا أنه مضروب بمجموعة من المناھی الفالقیة، أدت إلى تقسیمه إلى بلوکات فالقیة مرتفعة ومنخفضة، وهذا ما تؤکدھ المعطیات الجیولوجیة للبئر صدد-2 التي تشير إلى وجود فالق عکسی أصاب طبقه الکوروشینا دولومیت متسبباً بتکرارها، كما في (الشكل 10). حيث أن البئر اخترق طبقة ال KD في البلوکة الصاعدة، ثم اخترقها من جديد في البلوکة المنخفضة.



الشكل. 10: مقطع سزمي مفسر يمر من البئر صدد-2 [الباحث]

#### د- إنشاء خريطة زمنية لطبقة الكوروشينا دولوميت:

بعد الانتهاء من عملية التقسيير السزمي للسطح العاكسة والفالق التي ضربت منطقة صدد؛ وضعنا الخريطة الزمنية للعاسكس الهدف KD بحسب معطياتنا وذلك باستخدام برنامج (CPS3-VIZ and Mapping)، (الشكل. 11).



الشكل. 11: الخارطة الزمنية TWT لتشكيل KD في حقل صدد [الباحث]

تبين لنا من خلال دراستنا للخريطة الزمنية (TWT)؛ أن تركيب صدد عبارة عن محدب فالقي متاطول الشكل ذو اتجاه: شمال-جنوب غرب، وأبعاده (8×2.5) كم، وسعته الزمنية 300 مليـلـي ثـانـيـة، وتراوحت القيم الزمنية للخريطة (من 1300 إلى 1600 مليـلـي ثـانـيـة) تقريـباً. واتضح أن تركيب صدد مضروب بخمسة فالقـ رئـيـسـيـةـ بـاتـجـاهـ:ـ شـمـالـ شـرـقـ،ـ جـنـوبـ غـرـبـ،ـ وـثـلـاثـةـ فالـقـ ثـانـيـةـ بـاتـجـاهـ شـمـالـ غـرـبـ-ـ جـنـوبـ شـرـقـ،ـ أـدـتـ إـلـىـ تـقـسـيمـهـ إـلـىـ 3ـ بـلـوـكـاتـ مـرـتـقـعـةـ وـاقـعـةـ فـيـ مـرـكـزـ التـرـكـيبـ،ـ وـيـقـعـ الـبـئـرـ صـدـدـ 5ـ فـيـ أـخـضـعـهـ،ـ أـمـاـ الـبـئـرـ صـدـدـ2ـ فـيـقـعـ إـلـىـ الطـرـفـ الشـمـالـيـ الشـرـقـيـ مـنـ التـرـكـيبـ،ـ وـبـالـنـسـبـةـ لـبـاقـيـ الـبـارـ؛ـ فـهـيـ وـاقـعـةـ فـيـ قـمـةـ التـرـكـيبـ.

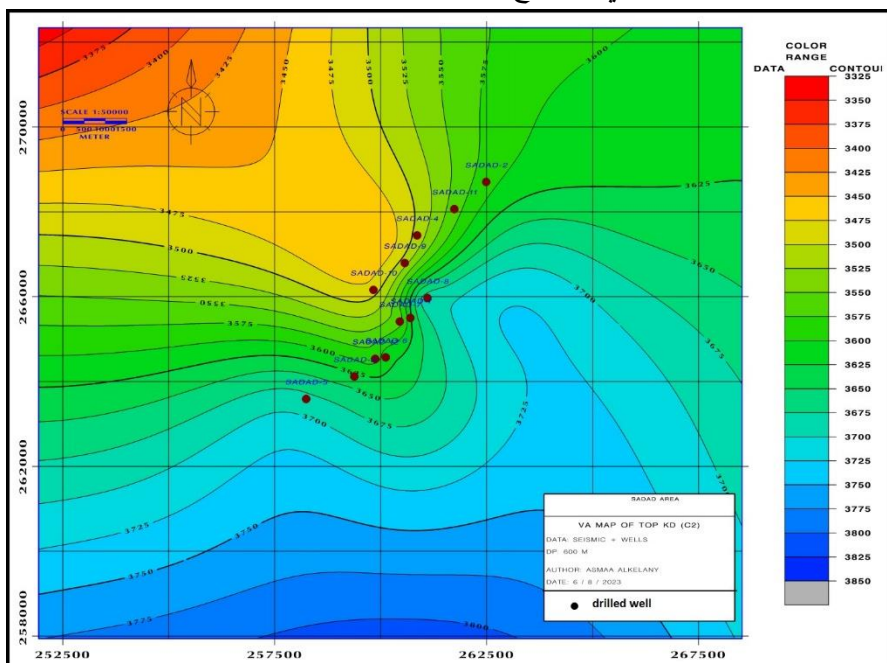
وبمقارنة خريطتنا الزمنية بالخرائط الزمنية للدراسات السابقة؛ كانت متشابهة بالمنحى العام للتركيب واتجاهه وقmet، وباتجاه الفوالق الرئيسية، أما أوجه التباين والاختلاف فكانت في عدد الفوالق الرئيسية والثانوية، حيث أن عدد تلك الفوالق في هذه الدراسة يفوق عددها في الدراسات السابقة، كما هو موضح في الأشكال 3، 4 و 5.

#### هـ - إنجاز خريطة السرعة الوسطية لتشكيلة الكوروشينا دولوميت:

هناك مجموعة من الطرق للحصول على خريطة السرعة الوسطية، وفي بحثنا سوف نعتمد على طريقتين لحساب السرعة الوسطية لأعلى عاكس الكوروشينا دولوميت.

#### الطريقة الأولى:

معتمدة على المعطيات السیزمیة المفسرة مع قيم معطيات الآبار، حيث تم الاعتماد على بيانات الخريطة الزمنية مع قيم عمق تشکيلة الكوروشينا دولوميت التي تم تحميلها سابقاً ضمن الآبار المتوفرة في منطقة الدراسة. يبين (الشكل. 12) أن قيمة السرعة الوسطية تتراوح بين (3450-3700) م/ث، مع التنويه إلى أنه كلما زاد عدد الآبار المتوفرة في المنطقة المدروسة؛ كلما زادت مصداقية ودقة خريطة السرعة.



الشكل. 12: خريطة السرعة الوسطية لتشكيلة KD في حقل صدد [الباحث]

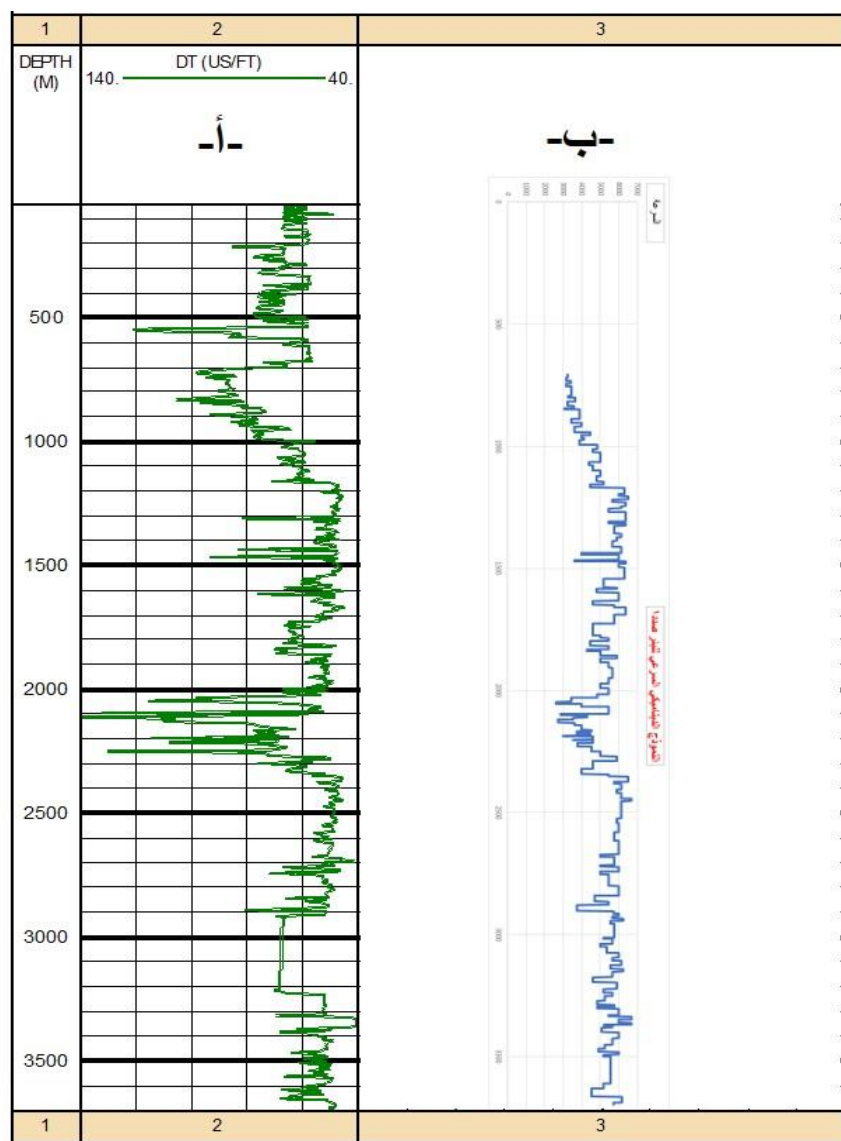
#### الطريقة الثانية:

مبنية على منهجية جديدة عبر إيجاد النموذج السیزمی السرعی الفعال (E.S.M.) (Effective Seismic Model) الذي وضعناه للبئر صدد-1 اعتماداً على القياسات الصوتية (sonic) والكتافة (density)، عبر عدد من المراحل المهمة المتمثلة بما يلي:

1 - انطلاقاً من سجل الا sonic للبئر صدد-1 المعبر عن العديد من الطبقات (الديناميكي) في الوسط المدروس (شكل. 13-أ)؛ قمنا

بحساب السرع اللحظية ووضعنا النموذج الديناميكي السرعی (شكل. 13- ب) المقابل لهذه الطبقات وذلك بحسب السرعة

$$v = dz/dt$$



الشكل. 13: أ- سجل الـ sonic للبئر صدد-1 (الشركة السورية للنفط، 2004)

ب- النموذج الديناميكي للبئر صدد-1 [الباحث]

241

242

243

244

245

246

247

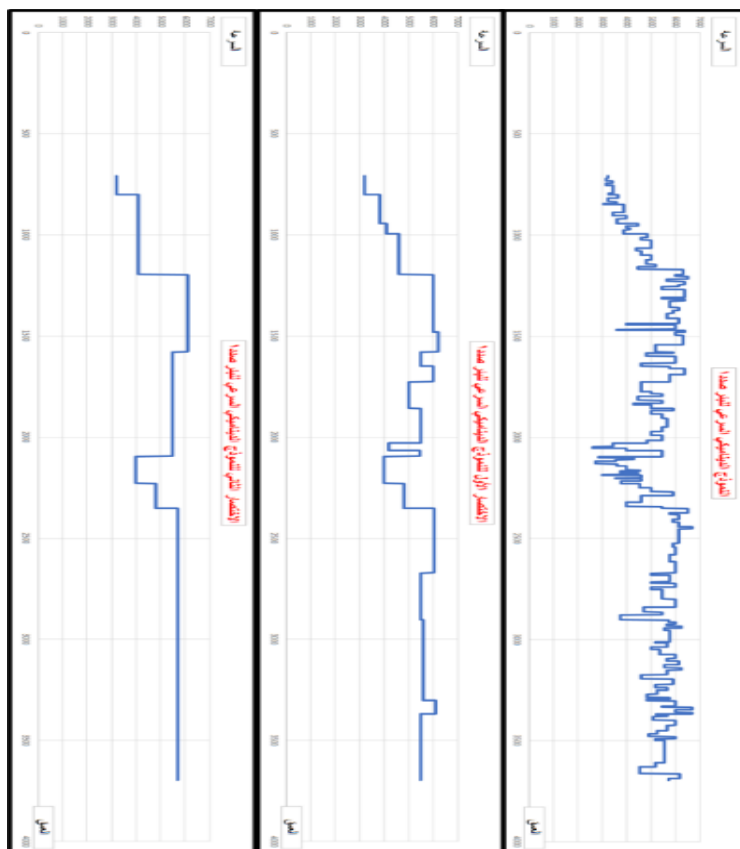
248

249

250

2- انتقلنا من النموذج الديناميكي السرعی الأولى إلى النموذج الطبقي السرعی الفعال من خلال مجموعة تكاملات للطبقات المؤلفة للمقطع الجيولوجي (الشكل. 14).

وجدير بالذكر أن المعيار المتبوع في عمليات الاختصار المذكورة معتمد على سمكافة الطبقة وعامل الانعکاس، وذلك بإهمال الطبقات الرقيقة (سماكتها أقل من ربع طول الموجة)، علمًا أن طول الموجة حوالي 70 متر، وكذلك بإهمال عامل الانعکاس الصغير (الأقل من 0.01).



الشكل. 14: مراحل بناء النموذج السيزمي الفعال للبئر صدد-1 [الباحث]

وقد حُسبت قيمة السرعة الوسطية للنموذج السيزمي الفعال المخلق من خلال العلاقة الرياضية التالية:

$$\bar{v} = \frac{\sum h_i}{\sum \frac{h_i}{v_i}} \bar{v} = \frac{h_1 + h_2 + h_3 + \dots + h_n}{\frac{h_1}{v_1} + \frac{h_2}{v_2} + \frac{h_3}{v_3} + \dots + \frac{h_n}{v_n}}$$

حيث  $h_i$ : سمك الطبقه.

$v_i$ : السرعة الطبقية.

$$\bar{v} = \frac{\sum h_i}{\sum \frac{h_i}{v_i}} = 3610 \text{ m/s}$$

251

252

253

254

255

256

257

258

259

260

261

262

263

264

265

266

وهي قيمة السرعة الوسطية لاختصار الثاني للنموذج الديناميكي السرعوي للبئر صدد-1، والتي تمثل السرعة الوسطية المحسوبة

من النموذج السيزمي الطيفي الفعال الناتج.

تمت المقارنة بين قيمة السرعة الوسطية الناتجة عن النموذج السيزمي السرعوي الفعال؛ وكانت هذه السرعة:  $\bar{v} = 3610 \text{ m/s}$

مع قيمة السرعة الناتجة عن النموذج المستاتيكي المعتمد سابقاً والناتج عن الا check – shot والتي كانت:  $\bar{v} = 4609 \text{ m/s}$

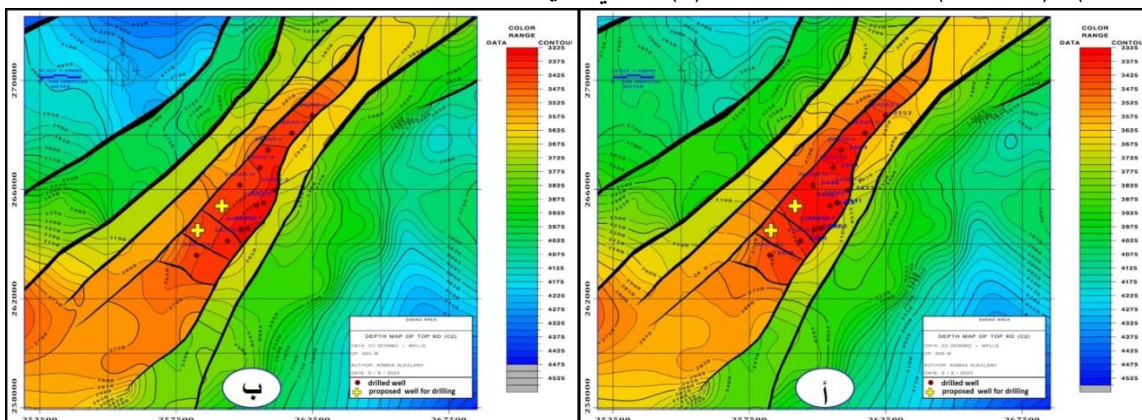
فكان نسبه عدم الدقة بحدود 20 % بين النماذجين.

#### و - إنجاز الخريطة العميقية لتشكيله الكوروشينا دولوميت:

انتقلنا من الخريطة الزمنية إلى العميقية بأساليب:

الأول باستخدام معادلات السرعة في برنامج Geoframe (شكل. 15 -أ)، والثاني بناءً على قيم السرعة المحسوبة التي توصلنا إليها من النموذج الديناميكي الفعال (شكل. 15 -ب).

267 بالاعتماد على خريطة السرعة الوسطية وخريطة الزمن اللتين تم إنشاؤهما؛ انتقلنا إلى بناء الخريطة العميقية لل KD (باستخدام  
 268 برنامج CPS3)، (شكل. 15) وحددنا عليها بالإشارة (+) موقعين جديدين مقترنين للحفر.



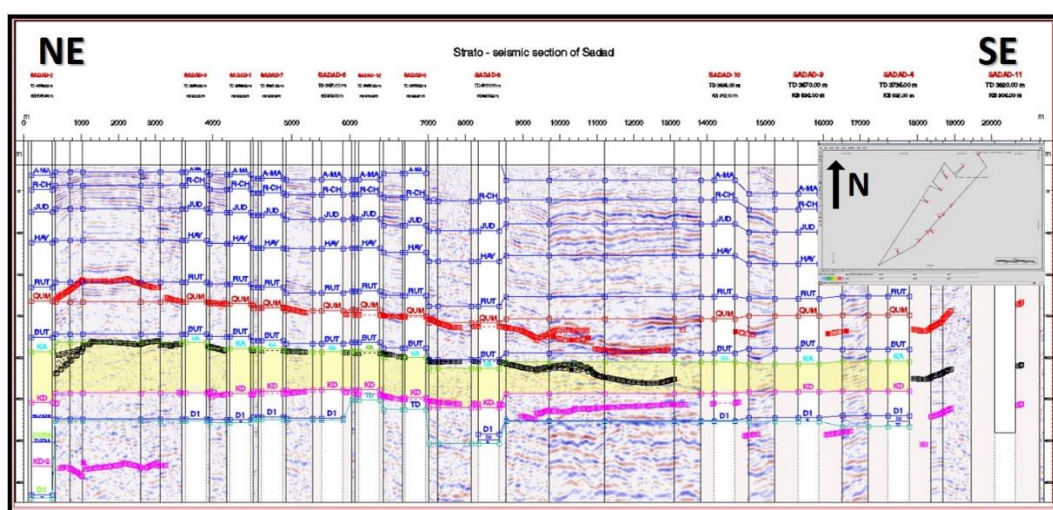
269 الشكل. 15: أ- الخريطة العميقية لتشكيلة KD في حقل صدد والمبنية على معادلات السرعة من برنامج geoframe، وتشير (+) إلى موقعين  
 270 البرين  
 271 المقترنين للحفر [الباحث]

272 ب- الخريطة العميقية لتشكيلة KD في حقل صدد والمبنية على السرعة الوسطية المستخلصة من النموذج السیزمیي الفعال [الباحث]

273 تبين لنا بحسب الخريطة العميقية لعاكس الكوروشينا دولوميت التي أعددناها في هذا البحث (شكل. 15)؛ أن القيم العميقية متراوحة  
 274 ما بين (3625 – 3325) م، والسعنة العميقية حوالي الـ 300 م، وأن التركيب مقسم إلى أربعة مناطق فالقية، مركزه مرتفع تركيبياً –  
 275 عدا جناحه الشرقي والغربي - ومكون من 3 بلوکات، البلوك الأعلى تركيبياً تحوي معظم آبار صدد، أما البلوك الأخفض تركيبياً  
 276 فيقع فيه البئر صدد-5، وهو في الجهة الجنوبية الغربية من تركيب صدد، وقد تم تعين بئرين جديدين ضمن المرتفعات التركيبية  
 277 في منطقة الدراسة، أحذين بعين الاعتبار المسافة بين الآبار المجاورة.

278 من خلال دراسة الخريطة العميقية تبين لنا أن البئر صدد-2 مضروب بفالق عكسي كرر طبقة الكوروشينا دولوميت وأدى إلى  
 279 انخفاضها، مما جعله سلبياً. أما بالنسبة للبئر صدد-5 فهو سلبي نتيجة وقوعه ضمن منخفض تركيبي، وهذا ما أكدته المعطيات  
 280 الجيولوجية.

281 ز- إنجاز مقطع سیزموستراتغرافي ضمن تركيب صدد:  
 282 قمنا في هذه الدراسة بربط أعمال التفسير السیزمیي مع التتابع стратاتغرافي في آبار حقل صدد، عبر إنجاز مقطع سیزموستراتغرافي  
 283 لمنطقة الدراسة، وهو موضح على الشكل 16، حيث يبين هذا المقطع التوافق ما بين المعطيات الجيولوجية والتفسير السیزمیي.



الشكل. 16: مقطع سيموموستراتغرافي يمر من آبار حقل صدد [الباحث]

**8 - النتائج:**

- 1- إنجاز أعمال التفسير السيزمي عبر الخطوط السيزمية المتوفرة في تركيب صدد، من خلال الاستفادة من أعلى التشكيلات المحملة من الآبار على المقاطع السيزمية ببطأ مع التقاطعات السيزمية بين خطوط المسح.
- 2- الربط الاستراتغرافي مع نتائج التفسير السيزمي من خلال إنجاز مقطع سيموموستراتغرافي.
- 3- إنجاز خريطة زمنية جديدة لعاكس KD الحامل للهيدروكربون في حقل صدد، وإنشاء خريطة عمقية جديدة من خلال عمل خريطة للسرعة الوسطية بالاعتماد على معطيات الآبار والمعطيات السيزمية.
- 4- من خلال دراسة الخرائط الزمنية والعمقية والسرعية تبين لنا أن تركيب صدد عبارة عن بلوکات فالقية مفصولة عن بعضها، وأن معظم آبار صدد واقعة في قمة التركيب.
- 5- تحديد موقعي بئرين جديدين ضمن قمم التراكيب على الخريطة العمقية في حقل صدد.

**9 - التوصيات:**

- ❖ دراسة إمكانية تواجد الهيدروكربون في موقع الآبار المقترحة للحفر.
- ❖ الاستفادة من فكرة المقاطع السيموموستراتغرافية في أعمال التفسير السيزمي.
- ❖ العمل على تكتيف شبكة خطوط المسح السيزمي ضمن منطقة الدراسة.
- ❖ تعميم نتائج البحث ومنهجية العمل المقترحة والمعدة ليتم تطبيقها على خطوط المسح السيزمي ذات الإشارة الضعيفة في حوض الدو ومناطق أخرى من العالم.

**المراجع:**

- 304 1. الشركة السورية للنفط (2004 – 2020). التقارير النهائية لآبار حقل صدد الغازى.
- 305 2. الشركة السورية للنفط، مديرية الاستكشاف- دائرة القياسات الكهربائية (2004). قياسات بئرية للبئر صدد-1.
- 306 3. الشركة السورية للنفط، مديرية الاستكشاف- دائرة التقسيرات (2014). دراسة تقسيرية لمعظم حقول حوض الدو - حقل صدد.
- 307 4. الشركة السورية للنفط، مديرية الاستكشاف- دائرة التقسيرات (2015). دراسة تقسيرية لمعظم حقول حوض الدو - حقل صدد.
- 308 5. الشركة السورية للنفط، مديرية الاستكشاف- دائرة التقسيرات (2018). التقرير السنوي المعدل لحوض الدو - دراسة تقسيرية
- 309 لمعظم حقول حوض الدو - حقل صدد.
- 310 6. الكيلاني، اسماء..، ناصر، رامز. (2022). النموذج السیزمی الطبقي الفعال واستخدامه لتقسیر المعطيات الجیولوجیة وتحدید
- 311 السرع السیزمیة فی حقل شریفة. مجلة جامعة البعث للعلوم الأساسية. 44 (8): 31-11.
- 312 7. الكيلاني، اسماء..، ناصر، رامز..، ومعلولة، کايد. (2023). دراسة سیزمیة لإعادة تقييم حقل شمال الفیض الغازی سیزمیا  
313 وتدقيق بنیته الجیولوجیة ووضع تصویر سیزموستراتغرافی شامل حوله. مجلة جامعة دمشق للعلوم الأساسية. (قبل للنشر).
- 314 8. الكيلاني، اسماء..، ناصر، رامز..، ومعلولة، کايد. (2023). دراسة سیزمیة لحقن الفرقلس لوضع تصویر شامل حول وضعه
- 315 الجیولوجی. مجلة العلم والابتكار السورية. 1 (2).
- 316 9. الكيلاني، اسماء..، ناصر، رامز..، ومعلولة، کايد. (2023). إعادة تفسیر المعطيات السیزمیة لحقن قمقم فی حوض الدو -
- 317 سوريا. مجلة جامعة دمشق للعلوم الأساسية. (قبل للنشر).
- 318 10. Barazangi, M., Chaimov, T., Alsaad, D., Sawaf, T., Gebran, A. (1990). "Mesozoic and Cenozoic deformation inferred from seismic stratigraphy in the southwestern intracontinental Palmyride fold-thrust belt, Syria".
- 319 11. Ponikarov (1964). Geological Explanation Note - Palmyra Area - Al-Qaryatayn, Moscow.
- 320 12. Schlumberger (2004). Vertical seismic profile, Sonic Calibration and Geogram Report (field: Sadad,  
321 well: Sadad-1).
- 322 13. Syrian Petroleum Company (1997). Department of Drilling Geology.
- 323 14. Syrian Petroleum Company (2007). Seismic survey work in the Al-Daw basin - an unpublished study,  
324 Damascus, Syria.
- 325 15. Syrian Petroleum Company (2010). Exploration Directorate Regional Geological Department.
- 326 16. Techno-Export company (1974). Geological reports of Syrian geology.